

Starkniederschlagshöhen und -spenden gemäß KOSTRA-DWD-2020

Rasterfeld 205124

(Zeile 205, Spalte 124)

Regenspende und Bemessungsniederschlagswerte in Abhängigkeit von Wiederkehrzeit T und Dauerstufe D

| Dauerstufe D | | Wiederkehrzeit T | | | | | | | | | | | | | | | | | |
|--------------|-----|------------------|------------|------|------------|------|------------|-------|------------|-------|------------|-------|------------|-------|------------|-------|------------|-------|------------|
| | | 1 a | | 2 a | | 3 a | | 5 a | | 10 a | | 20 a | | 30 a | | 50 a | | 100 a | |
| min | Std | mm | l / (s ha) | mm | l / (s ha) | mm | l / (s ha) | mm | l / (s ha) | mm | l / (s ha) | mm | l / (s ha) | mm | l / (s ha) | mm | l / (s ha) | mm | l / (s ha) |
| 5 | | 7,7 | 256,7 | 9,4 | 313,3 | 10,4 | 346,7 | 11,8 | 393,3 | 13,7 | 456,7 | 15,7 | 523,3 | 17,0 | 566,7 | 18,7 | 623,3 | 21,2 | 706,7 |
| 10 | | 10,1 | 168,3 | 12,2 | 203,3 | 13,6 | 226,7 | 15,3 | 255,0 | 17,8 | 296,7 | 20,4 | 340,0 | 22,1 | 368,3 | 24,4 | 406,7 | 27,6 | 460,0 |
| 15 | | 11,5 | 127,8 | 14,0 | 155,6 | 15,5 | 172,2 | 17,5 | 194,4 | 20,4 | 226,7 | 23,4 | 260,0 | 25,4 | 282,2 | 27,9 | 310,0 | 31,6 | 351,1 |
| 20 | | 12,6 | 105,0 | 15,3 | 127,5 | 17,0 | 141,7 | 19,2 | 160,0 | 22,4 | 186,7 | 25,6 | 213,3 | 27,8 | 231,7 | 30,6 | 255,0 | 34,6 | 288,3 |
| 30 | | 14,3 | 79,4 | 17,3 | 96,1 | 19,2 | 106,7 | 21,7 | 120,6 | 25,3 | 140,6 | 29,0 | 161,1 | 31,4 | 174,4 | 34,6 | 192,2 | 39,1 | 217,2 |
| 45 | | 16,1 | 59,6 | 19,5 | 72,2 | 21,6 | 80,0 | 24,4 | 90,4 | 28,4 | 105,2 | 32,6 | 120,7 | 35,3 | 130,7 | 38,9 | 144,1 | 44,0 | 163,0 |
| 60 | 1 | 17,4 | 48,3 | 21,1 | 58,6 | 23,4 | 65,0 | 26,5 | 73,6 | 30,8 | 85,6 | 35,3 | 98,1 | 38,3 | 106,4 | 42,1 | 116,9 | 47,7 | 132,5 |
| 90 | 1,5 | 19,5 | 36,1 | 23,6 | 43,7 | 26,2 | 48,5 | 29,6 | 54,8 | 34,5 | 63,9 | 39,5 | 73,1 | 42,8 | 79,3 | 47,2 | 87,4 | 53,4 | 98,9 |
| 120 | 2 | 21,1 | 29,3 | 25,6 | 35,6 | 28,4 | 39,4 | 32,0 | 44,4 | 37,3 | 51,8 | 42,8 | 59,4 | 46,3 | 64,3 | 51,0 | 70,8 | 57,7 | 80,1 |
| 180 | 3 | 23,5 | 21,8 | 28,5 | 26,4 | 31,7 | 29,4 | 35,8 | 33,1 | 41,7 | 38,6 | 47,7 | 44,2 | 51,7 | 47,9 | 56,9 | 52,7 | 64,4 | 59,6 |
| 240 | 4 | 25,4 | 17,6 | 30,8 | 21,4 | 34,2 | 23,8 | 38,6 | 26,8 | 45,0 | 31,3 | 51,6 | 35,8 | 55,9 | 38,8 | 61,5 | 42,7 | 69,6 | 48,3 |
| 360 | 6 | 28,3 | 13,1 | 34,4 | 15,9 | 38,1 | 17,6 | 43,0 | 19,9 | 50,1 | 23,2 | 57,5 | 26,6 | 62,3 | 28,8 | 68,5 | 31,7 | 77,5 | 35,9 |
| 540 | 9 | 31,5 | 9,7 | 38,3 | 11,8 | 42,5 | 13,1 | 48,0 | 14,8 | 55,9 | 17,3 | 64,0 | 19,8 | 69,4 | 21,4 | 76,3 | 23,5 | 86,4 | 26,7 |
| 720 | 12 | 34,0 | 7,9 | 41,3 | 9,6 | 45,8 | 10,6 | 51,8 | 12,0 | 60,3 | 14,0 | 69,1 | 16,0 | 74,9 | 17,3 | 82,4 | 19,1 | 93,2 | 21,6 |
| 1080 | 18 | 37,9 | 5,8 | 46,0 | 7,1 | 51,0 | 7,9 | 57,6 | 8,9 | 67,1 | 10,4 | 76,9 | 11,9 | 83,4 | 12,9 | 91,8 | 14,2 | 103,8 | 16,0 |
| 1440 | 24 | 40,9 | 4,7 | 49,7 | 5,8 | 55,1 | 6,4 | 62,2 | 7,2 | 72,4 | 8,4 | 83,0 | 9,6 | 89,9 | 10,4 | 99,0 | 11,5 | 112,0 | 13,0 |
| 2880 | 48 | 49,1 | 2,8 | 59,6 | 3,4 | 66,1 | 3,8 | 74,7 | 4,3 | 87,0 | 5,0 | 99,7 | 5,8 | 108,0 | 6,3 | 118,9 | 6,9 | 134,6 | 7,8 |
| 4320 | 72 | 54,7 | 2,1 | 66,4 | 2,6 | 73,6 | 2,8 | 83,1 | 3,2 | 96,9 | 3,7 | 111,0 | 4,3 | 120,3 | 4,6 | 132,4 | 5,1 | 149,8 | 5,8 |
| 5760 | 96 | 59,0 | 1,7 | 71,6 | 2,1 | 79,4 | 2,3 | 89,7 | 2,6 | 104,5 | 3,0 | 119,8 | 3,5 | 129,7 | 3,8 | 142,8 | 4,1 | 161,6 | 4,7 |
| 7200 | 120 | 62,6 | 1,4 | 76,0 | 1,8 | 84,3 | 2,0 | 95,2 | 2,2 | 110,8 | 2,6 | 127,0 | 2,9 | 137,6 | 3,2 | 151,5 | 3,5 | 171,4 | 4,0 |
| 8640 | 144 | 65,7 | 1,3 | 79,7 | 1,5 | 88,4 | 1,7 | 99,8 | 1,9 | 116,3 | 2,2 | 133,3 | 2,6 | 144,4 | 2,8 | 159,0 | 3,1 | 179,9 | 3,5 |
| 10080 | 168 | 68,4 | 1,1 | 83,0 | 1,4 | 92,1 | 1,5 | 104,0 | 1,7 | 121,1 | 2,0 | 138,8 | 2,3 | 150,4 | 2,5 | 165,6 | 2,7 | 187,3 | 3,1 |

Starkniederschlagshöhen und -spenden gemäß KOSTRA-DWD-2020

Rasterfeld 205124

(Zeile 205, Spalte 124)

Örtliche Unsicherheiten in Abhängigkeit von Wiederkehrzeit T und Dauerstufe D

| Dauerstufe D | | Wiederkehrzeit T | | | | | | | | |
|--------------|-----|------------------|-----|-----|-----|------|------|------|------|-------|
| | | 1 a | 2 a | 3 a | 5 a | 10 a | 20 a | 30 a | 50 a | 100 a |
| min | Std | ± % | ± % | ± % | ± % | ± % | ± % | ± % | ± % | ± % |
| 5 | | 14 | 15 | 16 | 16 | 17 | 18 | 18 | 18 | 19 |
| 10 | | 19 | 20 | 21 | 21 | 22 | 22 | 23 | 23 | 24 |
| 15 | | 21 | 22 | 22 | 23 | 24 | 25 | 25 | 25 | 26 |
| 20 | | 21 | 23 | 23 | 24 | 25 | 25 | 26 | 26 | 27 |
| 30 | | 22 | 23 | 24 | 25 | 25 | 26 | 26 | 27 | 27 |
| 45 | | 22 | 23 | 24 | 25 | 25 | 26 | 26 | 27 | 27 |
| 60 | 1 | 21 | 23 | 23 | 24 | 25 | 26 | 26 | 26 | 27 |
| 90 | 1,5 | 21 | 22 | 23 | 23 | 24 | 25 | 25 | 26 | 26 |
| 120 | 2 | 20 | 21 | 22 | 23 | 23 | 24 | 24 | 25 | 25 |
| 180 | 3 | 19 | 20 | 20 | 21 | 22 | 23 | 23 | 23 | 24 |
| 240 | 4 | 18 | 19 | 19 | 20 | 21 | 22 | 22 | 22 | 23 |
| 360 | 6 | 16 | 18 | 18 | 19 | 20 | 20 | 21 | 21 | 21 |
| 540 | 9 | 15 | 16 | 17 | 17 | 18 | 19 | 19 | 20 | 20 |
| 720 | 12 | 14 | 15 | 16 | 17 | 17 | 18 | 18 | 19 | 19 |
| 1080 | 18 | 14 | 14 | 15 | 15 | 16 | 17 | 17 | 17 | 18 |
| 1440 | 24 | 13 | 14 | 14 | 15 | 15 | 16 | 16 | 16 | 17 |
| 2880 | 48 | 12 | 13 | 13 | 13 | 14 | 14 | 14 | 15 | 15 |
| 4320 | 72 | 12 | 12 | 12 | 13 | 13 | 14 | 14 | 14 | 14 |
| 5760 | 96 | 12 | 12 | 12 | 13 | 13 | 13 | 14 | 14 | 14 |
| 7200 | 120 | 13 | 13 | 13 | 13 | 13 | 13 | 13 | 14 | 14 |
| 8640 | 144 | 13 | 13 | 13 | 13 | 13 | 13 | 13 | 14 | 14 |
| 10080 | 168 | 13 | 13 | 13 | 13 | 13 | 13 | 13 | 14 | 14 |

Parameter für abweichende T und D

Lokationsparameter ξ (Xi)

17,70167646

Skalenparameter α (Alpha)

5,26494367

Formparameter κ (Kappa)

-0,1

1. Koutsoyiannis-Parameter θ (Theta)

0,02198484

2. Koutsoyiannis-Parameter η (Eta)

0,73607965

Parameter für dauerstufenübergreifende Extremwertschätzung nach KOUTSOYIANNIS et al. 1998.

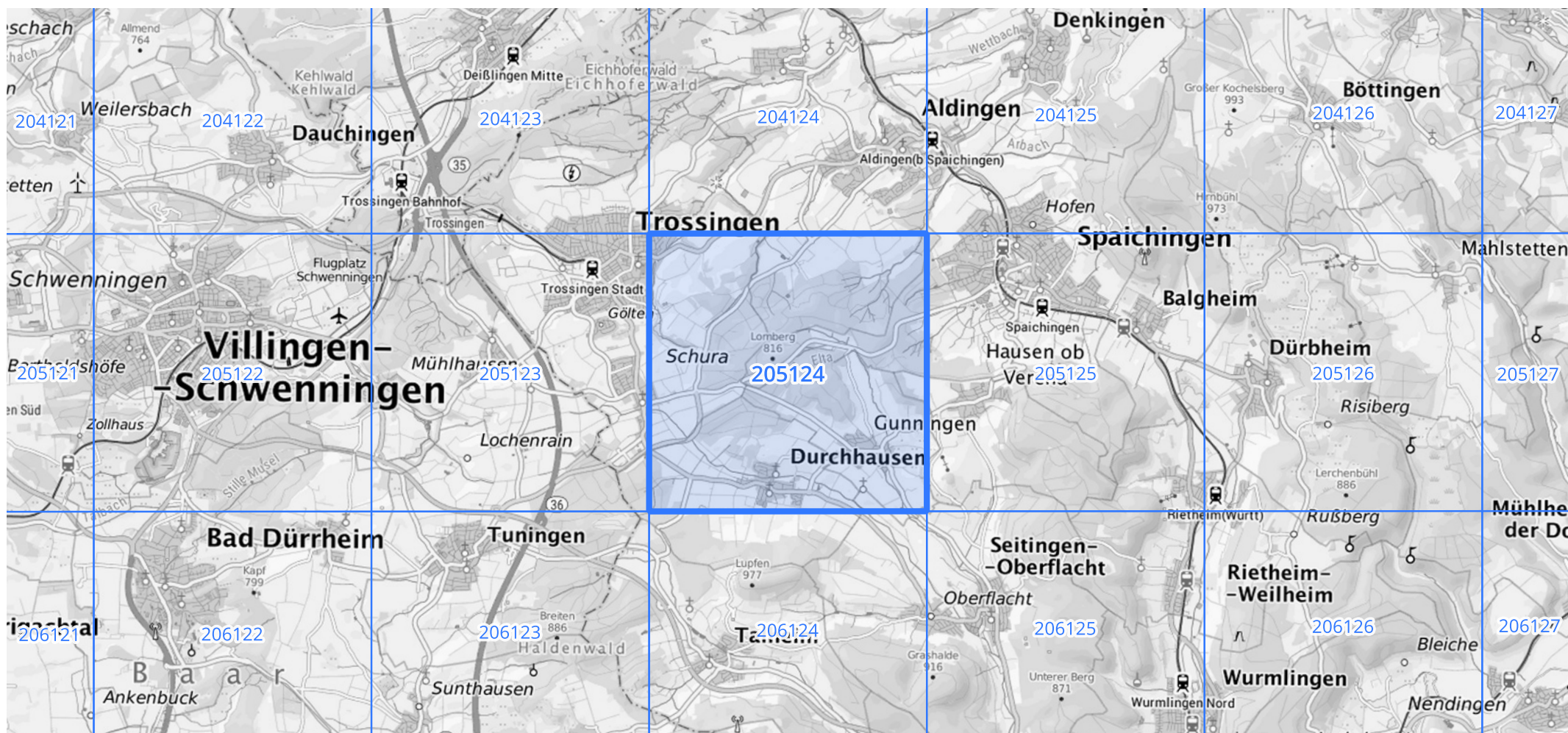
Siehe auch Anwendungshilfe zu KOSTRA-DWD-2020 des Deutschen Wetterdienstes.

Starkniederschlagshöhen und -spenden gemäß KOSTRA-DWD-2020

Rasterfeld 205124

(Zeile 205, Spalte 124)

Übersichtskarte des Rasterfeldes 205124, M 1 : 100 000



Quelle Rasterdaten: KOSTRA-DWD-2020 des Deutschen Wetterdienstes, Stand 12/2022.

Seite 3 von 3

Kartendarstellung: © Bundesamt für Kartographie und Geodäsie (2023), Datenquellen: https://sgx.geodatenzentrum.de/web_public/gdz/datenquellen/Datenquellen_TopPlusOpen.html

Für die Richtigkeit und Aktualität der Angaben wird keine Gewähr übernommen. Erstellt 01/2023.